



PcG蛋白PHF1由结构到生物学功能分析

Structural and functional Analysis of Plant
Homeodomain Finger Protein 1 in Human

报告人：徐胜亚

组长：金录嘉

组员：黄露露，丁巍，杨稼琳，王瑞杰

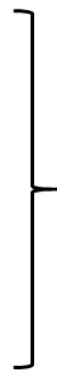
2020-01-04

PHF1蛋白的由来



Polycomb group (PcG)

Hox基因的表达
个体发育
调控胚胎/成体干细胞分化
染色体失活
肿瘤形成



PcG蛋白

PRC1



BMI1
RING1
HPC1-3
HPH1-3

PRC2



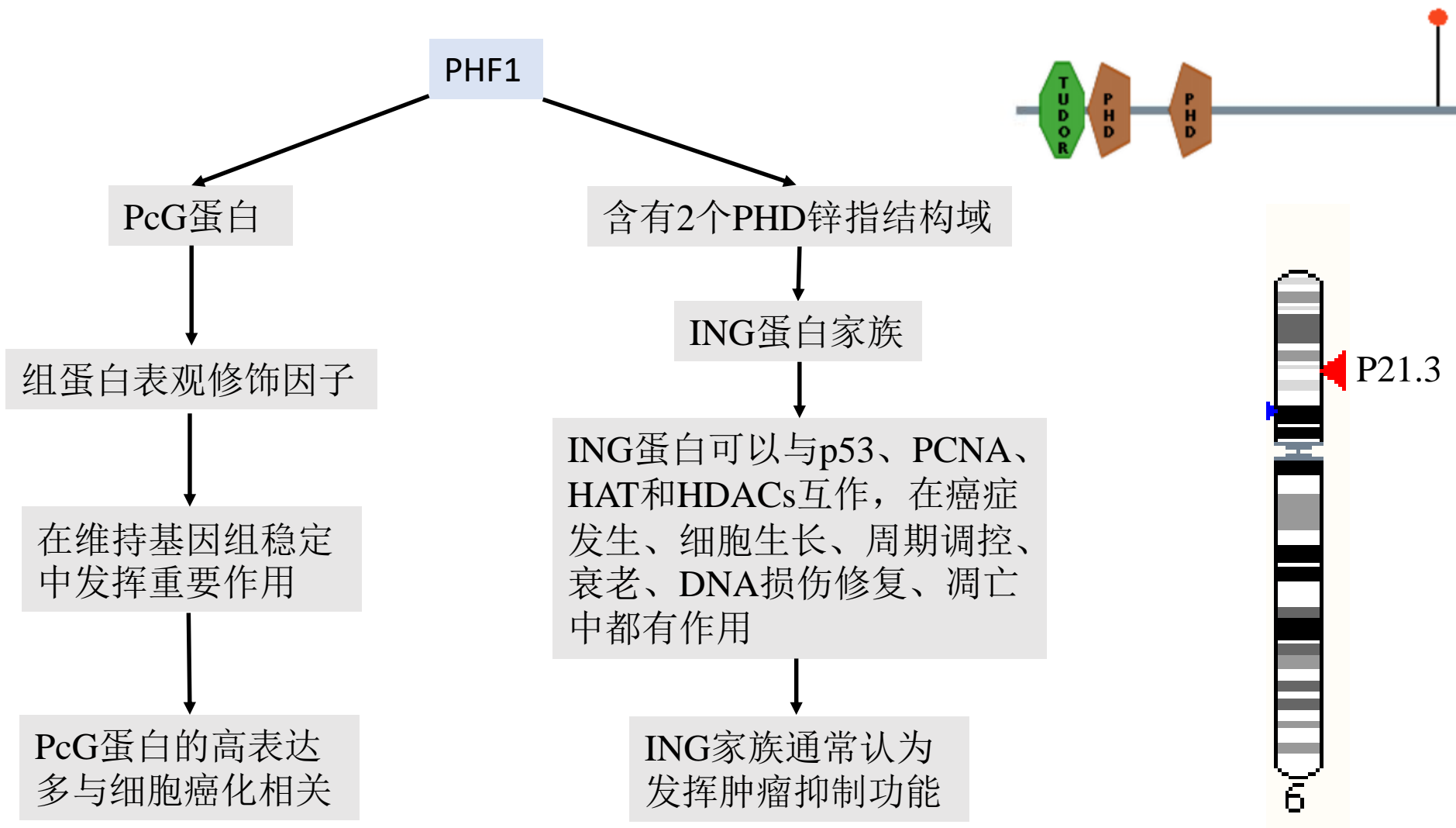
EZH2
EED
SUZ12
RbAp48
PHF1

Genomics, 1998, 48(3): 381-383.

Cell Cycle, 2016, 15(3): 305-306.

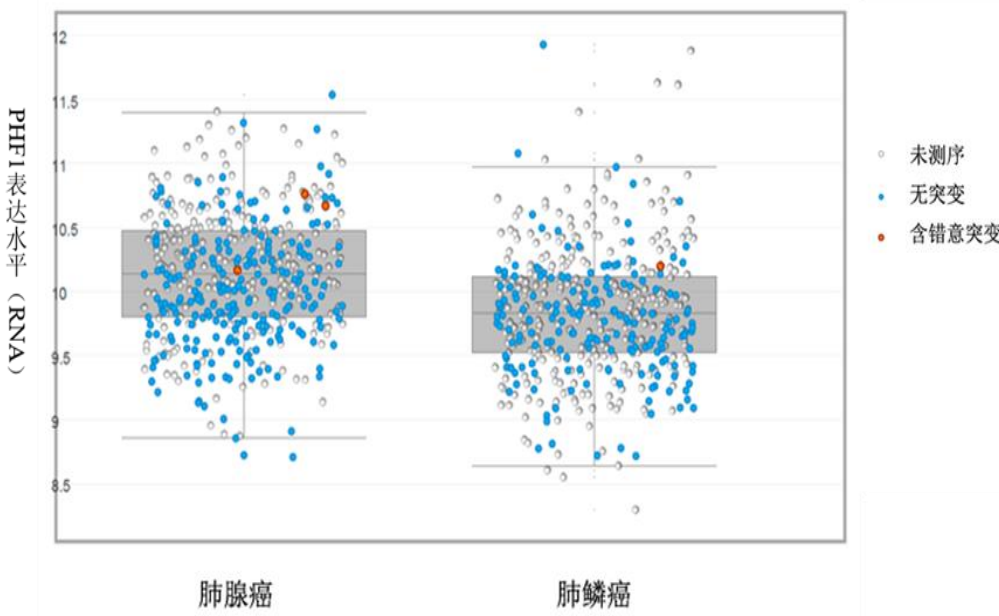
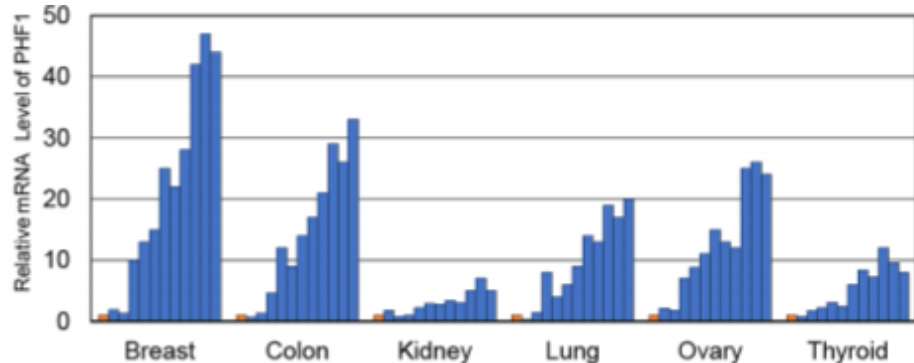
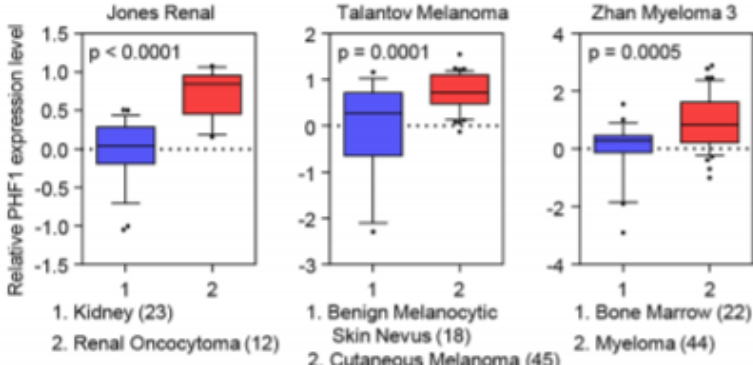
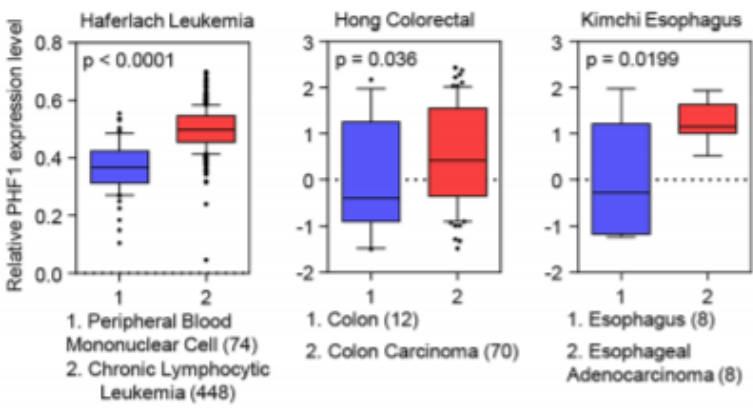
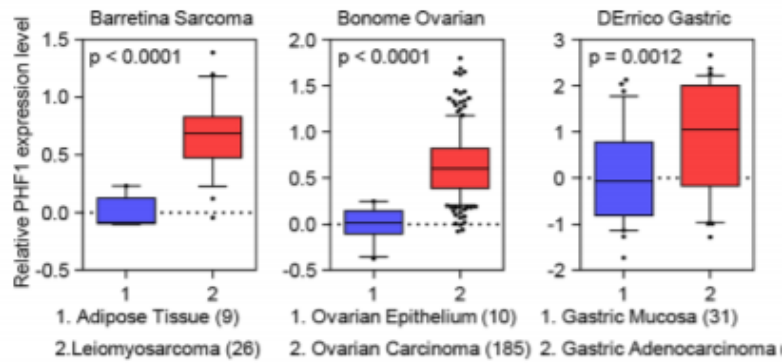
P53

PHF1的主要特征



推测：同时具备PcG和PHD特征的PHF1可能在癌症发生发展中具有重要作用

PHF1蛋白在多种癌症中上调表达



PHF1蛋白所参与的生物学过程

PHF1 是 PcG 蛋白家族中的重要组分，参与众多复杂的生物学过程

1. DNA 损伤修复 —— 涉及到：同源修复和非同源末端连接两种修复方式

Nucleic Acids Res, 2008, 36(9): 2939-2947.

2. 细胞休眠或凋亡 —— PHF1通过与p53互作阻止 Mdm2 对 p53 的泛素化，促进p53的稳定从而介导细胞的休眠或凋亡

The Journal of biological chemistry, 2013, 288(1): 529-539.

Genes & development, 2015, 29(21): 2231-2243.

3. 组蛋白 H3K27me3\H3K36me3 的翻译后修饰 —— 通过调节PRC2的酶活性来选择性激活两种翻译后修饰途径从而抑制或促进下游基因的表达

Journal of molecular biology, 2014, 426(8): 1651-1660.

4. 染色体重排 —— 在子宫内膜间质细胞瘤中存在JAZF1 /PHF1 、EPC1 /PHF1 和MEAF6 /PHF1融合基因；在骨化性纤维黏液样瘤中，同样发现 PHF1 与 EPC1、MEAF6 基因发生上述染色体重排

Cancer research, 2006, 66(1): 107-112.

Cancer genetics and cytogenetics, 2008, 185(2): 74-77.

Cancer letters, 2014, 347(1): 75-78.

Genes, chromosomes & cancer, 2014, 53(2): 183-193.

但仍无具体研究报道具体的分子作用机制。



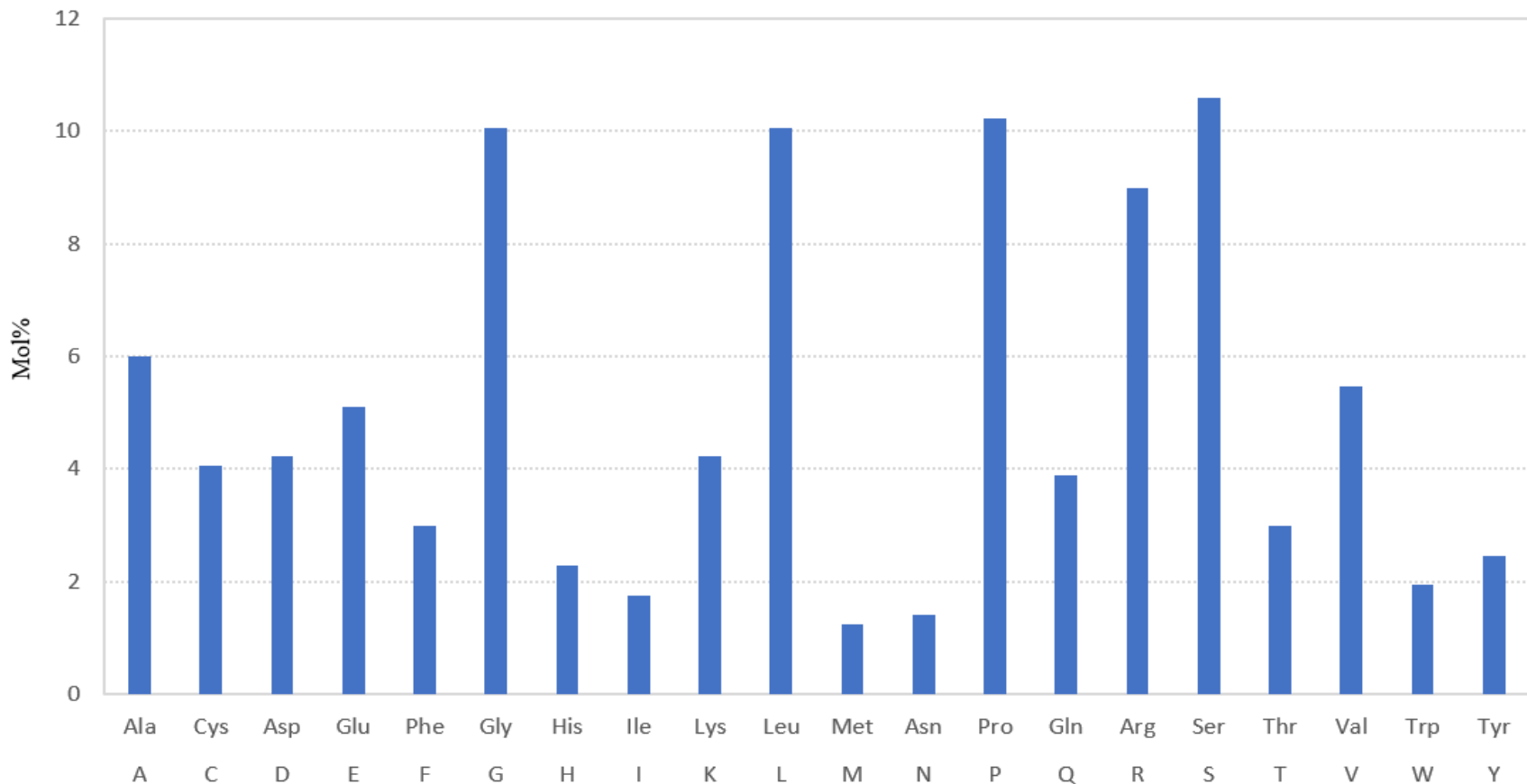
由于其一级结构决定高级结构，PHF1与MTF2、PHF19相似的一级结构促使其必然具有相似的生物学功能，在后续的功能研究中三个蛋白可以相互印证、相互辅助，为后续更为全面的生物学功能研究提供理论基础。

- 1. 氨基酸组成分析**
- 2. 理化性质分析**
- 3. 亲疏水性分析**
- 4. 信号肽和跨膜结构域分析**
- 5. 亚细胞定位分析**
- 6. 磷酸化位点分析**
- 7. 蛋白二级结构分析**
- 8. 蛋白质互作分析汇总**
- 9. 高级结构分析**
- 10. 亲缘关系及保守性分析**

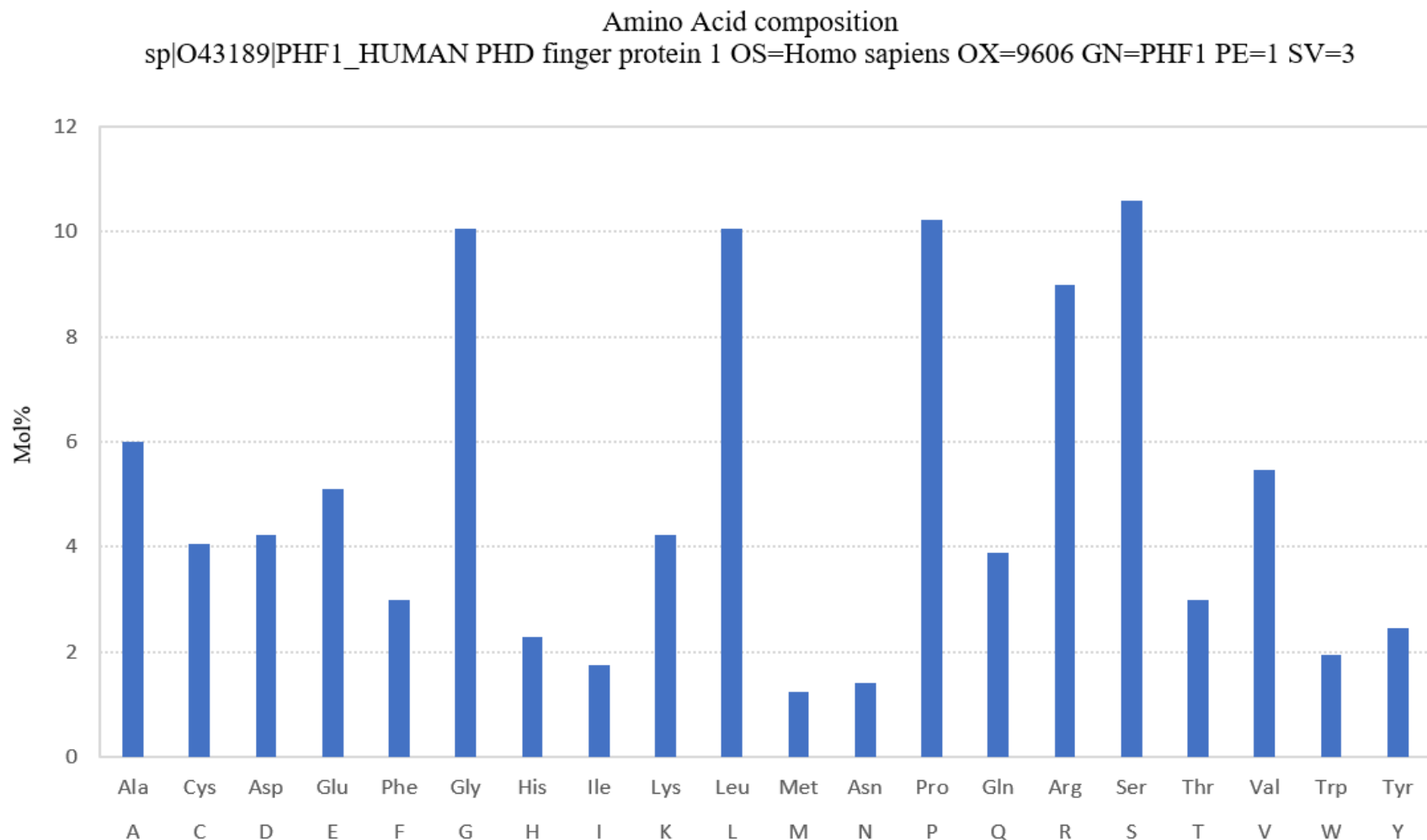
PHF1蛋白氨基酸组成分析

Amino Acid composition

sp|O43189|PHF1_HUMAN PHD finger protein 1 OS=Homo sapiens OX=9606 GN=PHF1 PE=1 SV=3

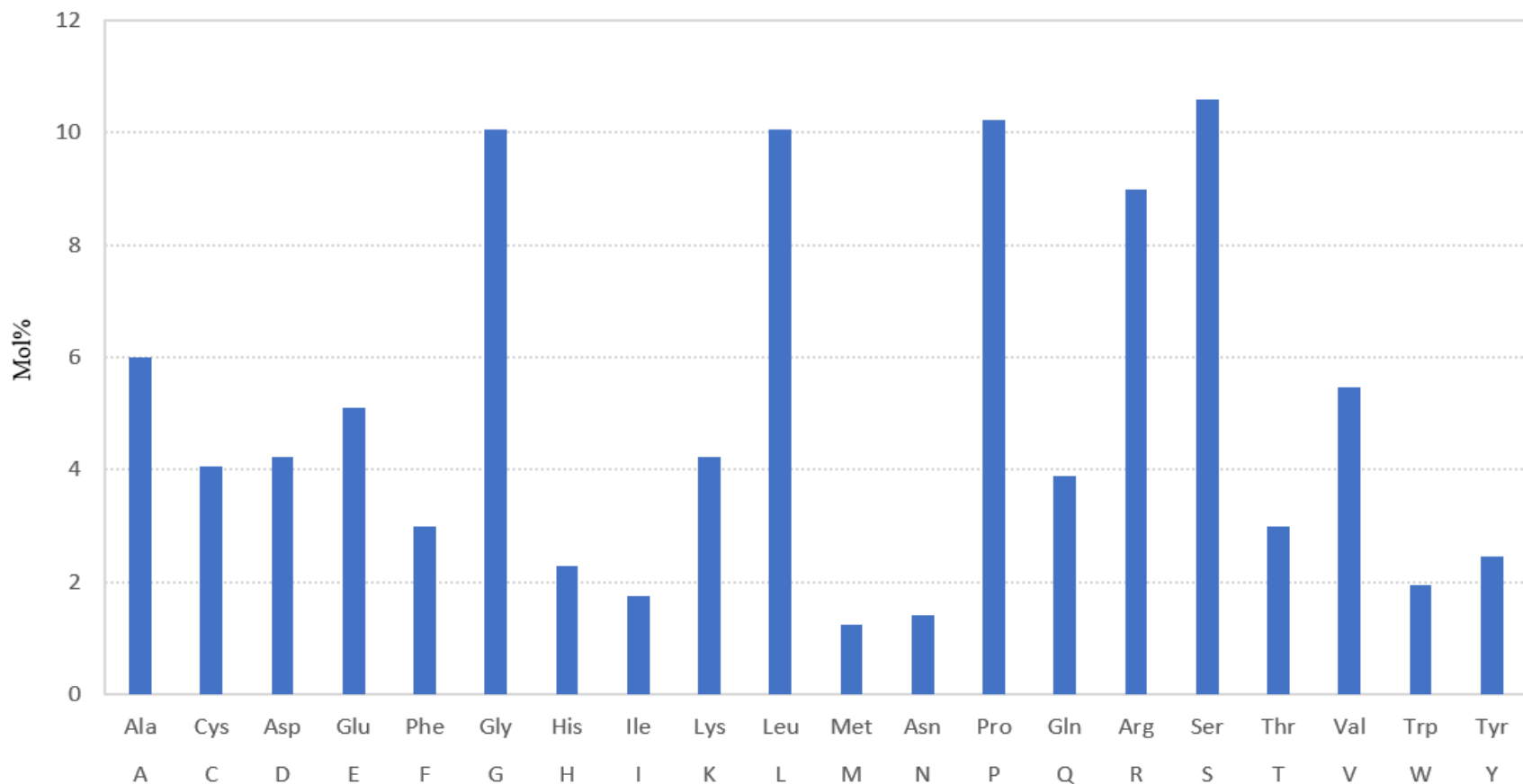


MTF2蛋白氨基酸组成分析



PHF19蛋白氨基酸组成分析

Amino Acid composition
sp|O43189|PHF1_HUMAN PHD finger protein 1 OS=Homo sapiens OX=9606 GN=PHF1 PE=1 SV=3



PHF1、MTF2和PHF19理化性质分析

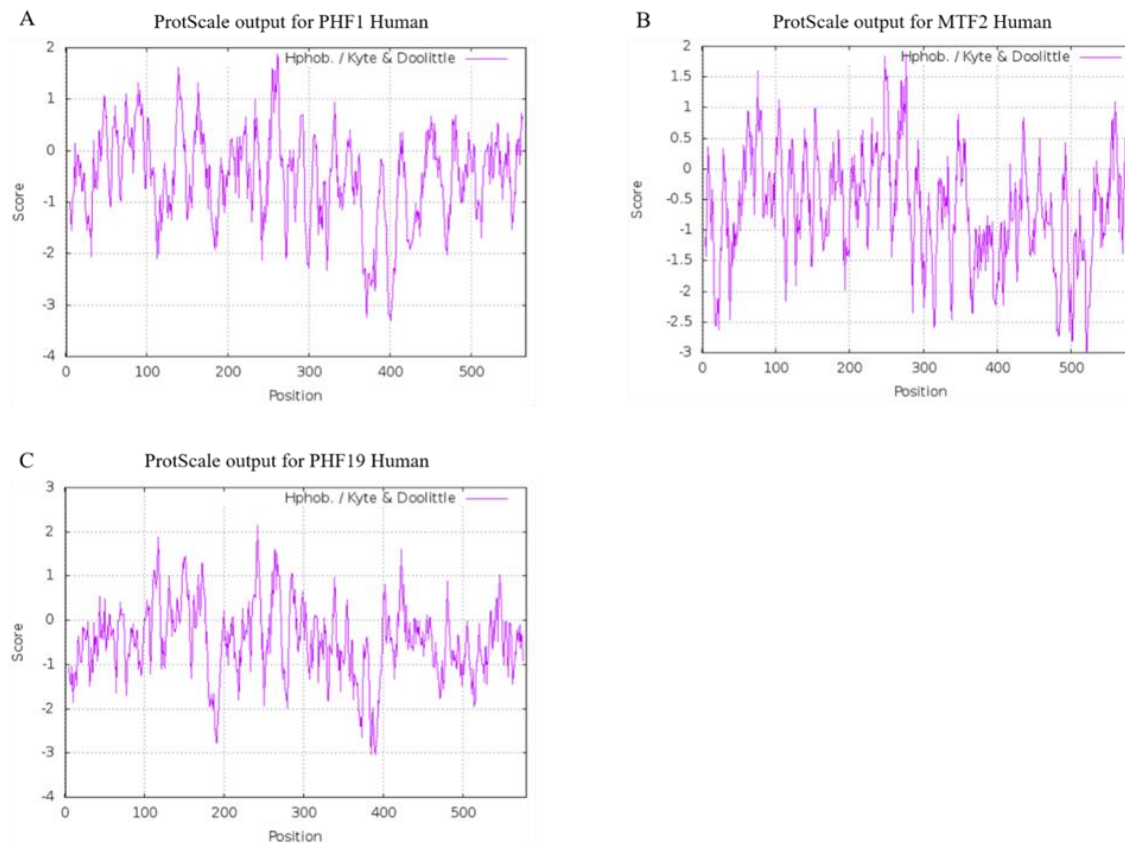
理化性质	PHF1	MTF2	PHF19
蛋白质编号	O43189	Q9Y483	Q5T6S3
染色体	6	1	9
氨基酸长度	567	593	580
分子量	62105.80	67105.62	65590.92
等电点	9.27	8.98	9.08
带负电荷氨基酸残基数	(Asp+Glu) 53	(Asp+Glu) 71	(Asp+Glu) 60
带正电荷氨基酸残基数	(Arg+Lys) 75	(Arg+Lys) 90	(Arg+Lys) 80
主要氨基酸残基	S P L G R A V E	K L S G E T R A D	L S K G R A E P
分子式	C ₂₇₂₆ H ₄₂₈₉ N ₈₁₁ O ₇₉₅ S ₃ 0	C ₂₉₅₀ H ₄₆₇₁ N ₈₄₁ O ₈₈₃ S ₃ 3	C ₂₉₁₉ H ₄₅₄₄ N ₈₂₀ O ₈₄₆ S ₂ 9
不稳定系数	71.53	46.90	49.05
消光系数	1.310	1.346	1.613
脂肪系数	67.94	70.24	73.34
半衰期预测	30 hours	30 hours	30 hours

根据表中数据预测如下：

- ① PHF1、MTF2和PHF19三个蛋白的等电点均大于7且带正电荷氨基酸残基数均多于带负电荷氨基酸残基数，因此推测三个蛋白均为碱性氨基酸。
- ② 三个蛋白共有的主要氨基酸残基为S, L, G, R, A, E。可预测其共有的特征为：胶原蛋白及一些RNA结合模体。
- ③ 三个蛋白的不稳定系数均分别为71.53、46.90和49.05，均高于阈值40，推测三个蛋白均为不稳定蛋白且PHF1更不稳定。

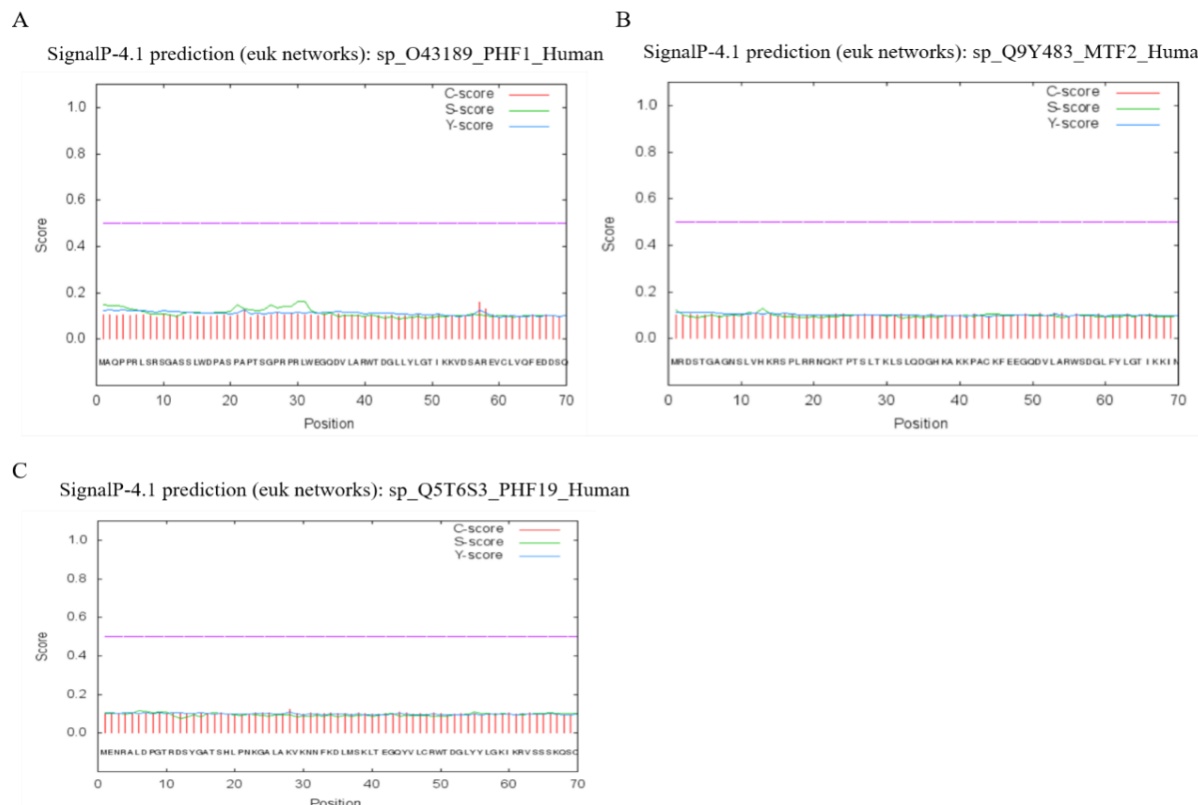
PHF1、MTF2和PHF19蛋白疏水性分析

通过ProtScale对PHF1、MTF2和PHF19进行疏水性分析，位于0刻度线以上为疏水性蛋白，0刻度线以下为亲水性蛋白。如图所示，三个蛋白多数曲线均位于0刻度线下方，总平均疏水性值分别为-0.507、-0.638和-0.491，即：三个蛋白均为亲水性蛋白。

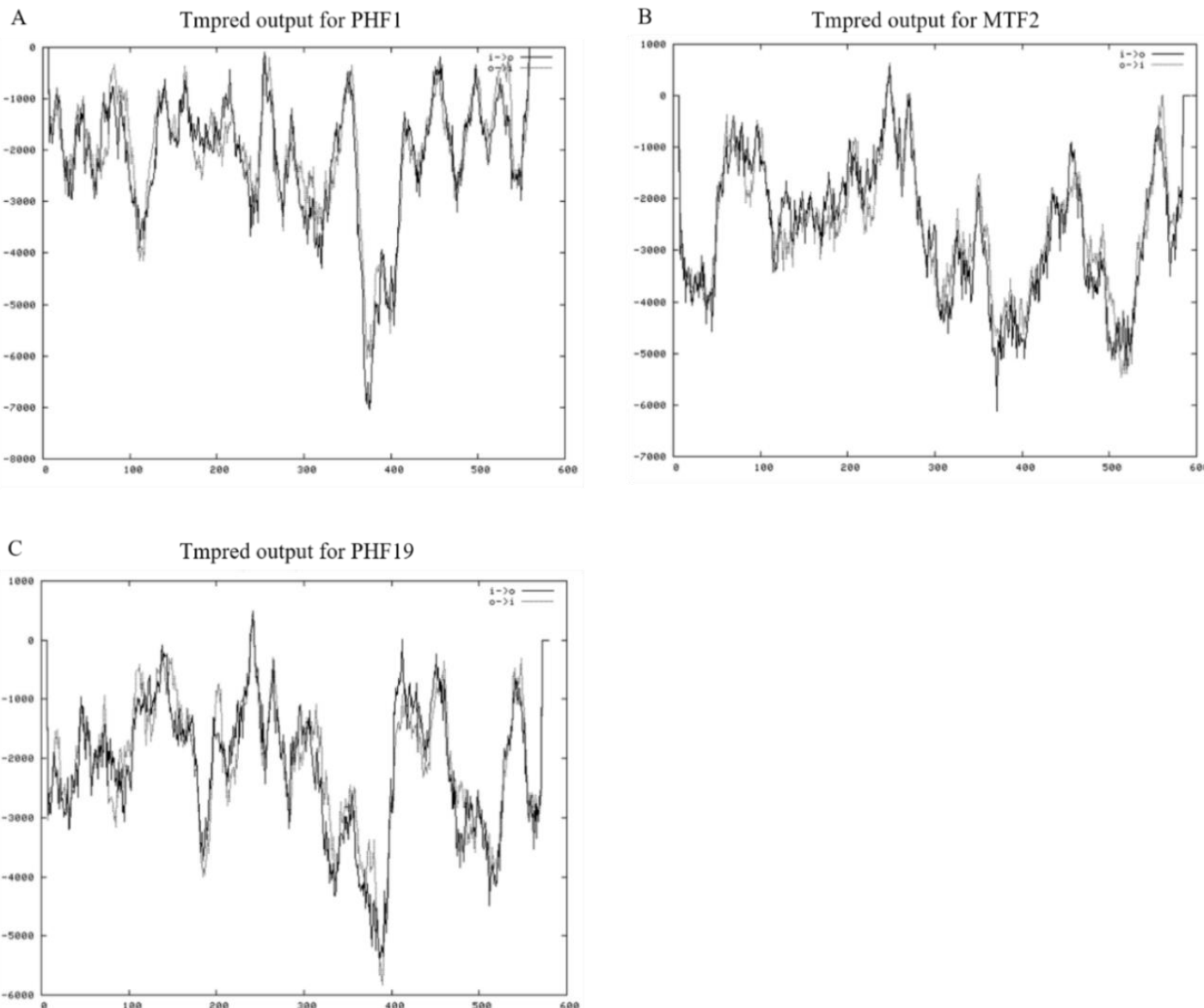


PHF1、MTF2和PHF19蛋白进行信号肽和跨膜结构区

利用SignalP和Tmpred在线网站对PHF1及其同源蛋白进行信号肽和跨膜结构区及跨膜方向进行预测。PHF1、MTF2及PHF19不存在跨膜域，且无信号肽，因此推测为膜内参与细胞内信号传递的蛋白，其中PHF1定位于细胞核。



PHF1、MTF2和PHF19蛋白跨膜区分析

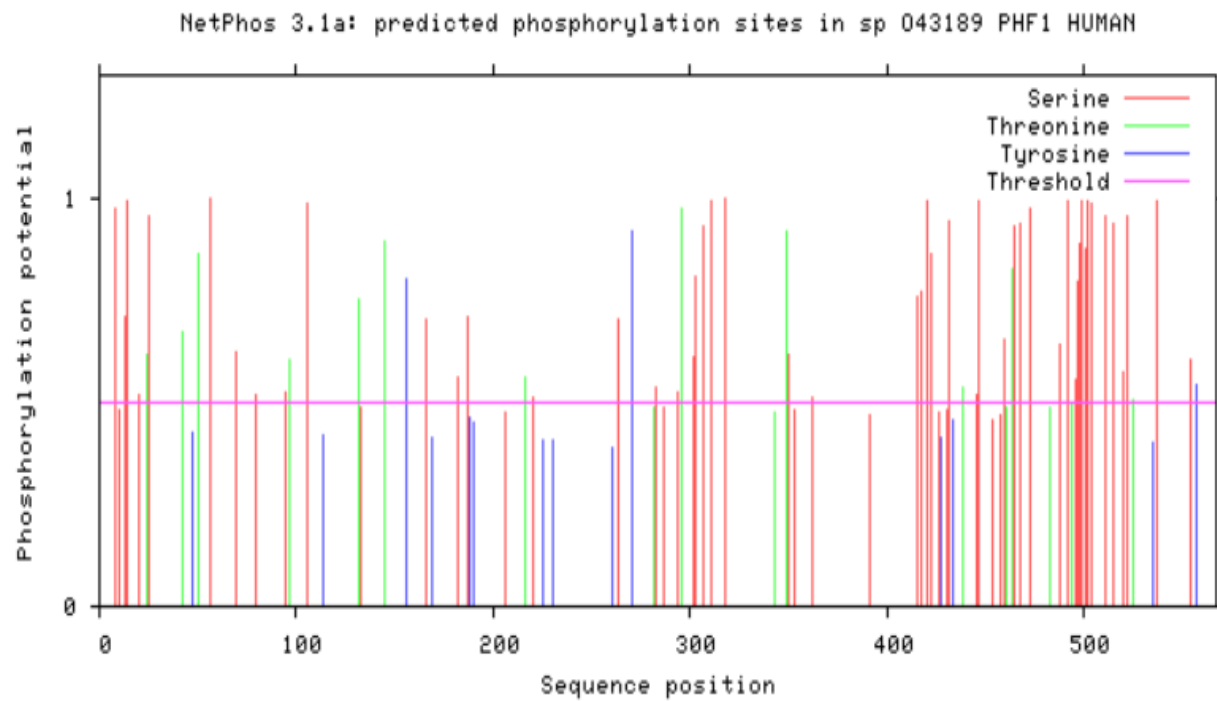


PHF1、MTF2和PHF19蛋白亚细胞定位分析

上一步分析可知，3个蛋白均为膜内蛋白，进一步进行亚细胞定位分析可知，PHF1与PHF19主要定位于细胞核，而MTF2则主要定位于细胞核和线粒体中。

基因名称	肯定度						
	细胞核	细胞骨架	细胞质	囊泡分 泌系统	质膜	线粒体	内质网
PHF1	69.6%	13%	4.3%	4.3%	4.3%	4.3%	-
MTF2	39.1%	4.3%	8.7%	-	4.3%	39.1%	4.3%
PHF19	78.3%	-	8.7%	4.3%	-	8.7%	-

PHF1、MTF2和PHF19蛋白磷酸化均以丝氨酸为主



NetPhos

PHF1共567个氨基酸，
Ser—50处
Thr—12处
Tyr—3处

由于PHF1含丝氨酸（Ser, S）和精氨酸（Arg, R）较多，因此可作为RNA结合模体。

PHF1、MTF2和PHF19蛋白磷酸化均以丝氨酸为主

MTF2共593个氨基酸，其中丝氨酸（Ser）有42处、苏氨酸（Thr）有22处、酪氨酸（Tyr）有7处可能被磷酸化，可见MTF2以丝氨酸磷酸化为主，苏氨酸磷酸化也占有一定的比例。

PHF19共580个氨基酸，其中丝氨酸（Ser）有39处、苏氨酸（Thr）有17处、酪氨酸（Tyr）有9处可能被磷酸化，可见PHF19以丝氨酸磷酸化为主。

PHF1、MTF2和PHF19蛋白磷酸化位点分析

预测PHF1、MTF2和PHF19可能含有PKA、PKC、PKG、p38MAPK、cdc2、cdk5、CKI、CKII、RSK、INSR等磷酸化位点，以及GSK3磷酸化识别位点。

激酶	PHF1		MTF2		PHF19		PKC	24 T	0.542	26 T	0.535	18 S	0.537	
	位点	得分	位点	得分	位点	得分								
PKA	42 T	0.674	4 S	0.638	13 S	0.596	PKG	50 T	0.860	29 T	0.602	64 S	0.780	
	95 S	0.525	27 S	0.524	51 T	0.663		145 T	0.558	65 T	0.916	65 S	0.803	
	166 S	0.701	57 S	0.763	64 S	0.714		182 S	0.561	141 S	0.529	66 S	0.635	
	187 S	0.672	181 T	0.574	107 S	0.534		216 T	0.563	158 T	0.746	275 S	0.868	
	220 S	0.511	288 S	0.578	374 S	0.814		263 S	0.701	159 T	0.875	307 T	0.736	
	303 S	0.701	380 S	0.813	396 S	0.868		311 S	0.810	160 T	0.539	319 S	0.883	
	307 S	0.549	401 S	0.612	500 S	0.609		350 S	0.616	181 T	0.593	366 S	0.508	
	511 S	0.668	483 T	0.525	538 S	0.689		445 S	0.518	250 S	0.615	410 T	0.519	
	520 S	0.573	488 S	0.525	—	—		459 S	0.560	278 S	0.800	421 S	0.699	
	554 S	0.606	551 S	0.644	—	—		463 T	0.800	314 S	0.514	432 S	0.733	
	—	—	576 T	0.683	—	—		492 S	0.636	333 S	0.719	441 T	0.682	
cdc2								496 S	0.556	401 S	0.849	454 T	0.739	
								497 S	0.585	460 S	0.648	463 S	0.723	
								498 S	0.654	461 S	0.677	469 T	0.833	
								499 S	0.561	465 T	0.569	472 S	0.919	
								501 S	0.533	468 S	0.781	533 S	0.712	
cdk5								—	—	477 S	0.830	—	—	
								—	—	485 T	0.867	—	—	
								—	—	488 S	0.531	—	—	
								—	—	510 T	0.679	—	—	
CKI							PKG	511 S	0.663	57 S	0.533	51 T	0.567	
								—	—	380 S	0.609	302 T	0.526	
CKII							PKG	18	—	—	—	—	—	
								—	—	—	—	—	—	
RSK							PKG	18	—	—	—	—	—	
								—	—	—	—	—	—	
INSR							PKG	18	—	—	—	—	—	
								—	—	—	—	—	—	

PHF1主要含有PKA、PKC、PKG、p38MAPK、cdc2、cdk5、CKI、CKII、RSK、INSR、GSK3等磷酸化识别位点

激酶	PHF1	位点	得分	PKG	511·S	0.663	CKII	282·S	0.535
PKA	42·T	0.674		p38MAPK	20·S	0.518	CKII	282·S	0.535
	95·S	0.525			79·S	0.518		294·S	0.527
	166·S	0.701			420·S	0.579	GSK3	20·S	0.507
	187·S	0.672			504·S	0.617		79·S	0.503
	220·S	0.511		cdc2	13·S	0.545		420·S	0.512
	303·S	0.701			296·T	0.576		422·S	0.517
	307·S	0.549			415·S	0.548		446·S	0.528
	511·S	0.668			417·S	0.542		473·S	0.508
	520·S	0.573			438·T	0.537		504·S	0.502
	554·S	0.606			446·S	0.522		515·S	0.520
	—	—			497·S	0.546	RSK	187·S	0.554
PKC	24·T	0.542			499·S	0.578		307·S	0.614
	50·T	0.860			504·S	0.519		318·S	0.578
	145·T	0.558		cdk5	417·S	0.562	INSR	557·Y	0.540
	182·S	0.561			420·S	0.503		—	—
	216·T	0.563			422·S	0.674		—	—
	263·S	0.701			446·S	0.592	ATM	69·S	0.625
	311·S	0.810			473·S	0.516	DNAPK	69·S	0.526
	350·S	0.616			502·S	0.601			
	445·S	0.518			504·S	0.608			
	459·S	0.560			515·S	0.723			
	463·T	0.800			522·S	0.560			
	492·S	0.636		CKI	463·T	0.552			
	496·S	0.556			522·S	0.540			
	497·S	0.585			525·T	0.503			
	498·S	0.654							
	499·S	0.561							
	501·S	0.533							

PHF1、MTF2和PHF19蛋白二级结构分析

使用<http://bioinf.cs.ucl.ac.uk/psipred/>网站对PHF1、MTF2和PHF19蛋白进行二级结构分析可知，3个蛋白的二级结构主要由 α -螺旋、扩展链结构和 β -转角3种形式构成，其中， α -螺旋>扩展链结构> β -转角。

基因名称	二级结构		
	α -螺旋	扩展链结构	β -转角
PHF1	47.8%	45.0%	16.4%
MTF2	63.6%	50.6%	15.2%
PHF19	61.2%	35.5%	15.0%

PHF1及其同源蛋白MTF2、PHF19保守性高

Enter Query Sequence

Enter accession number(s), gi(s), or FASTA sequence(s)

Or, upload file 未选择任何文件

Job Title

Align two or more sequences

Choose Search Set

Database

Organism

Exclude Models (XM/XP) Non-redundant RefSeq proteins (WP) Uncult

Program Selection

Algorithm blastp (protein-protein BLAST) PSI-BLAST (Position-Specific Iterated BLAST) PHI-BLAST (Pattern Hit Initiated BLAST) DELTA-BLAST (Domain Enhanced Lookup Time Accelerated BLAST)

Choose a BLAST algorithm

BLAST

Show results in a new window

	Description	Max Score	Total Score	Query Cover	E value	Per. Ident	Accession
<input checked="" type="checkbox"/>	PHD finger protein 1 isoform b [Homo sapiens]	1145	1145	100%	0.0	100.00%	NP_077084.2
<input checked="" type="checkbox"/>	PHD finger protein 2 [Homo sapiens]	1144	1144	100%	0.0	99.82%	AAC13273.1
<input checked="" type="checkbox"/>	PHD finger protein 1 isoform X2 [Homo sapiens]	1140	1140	100%	0.0	99.82%	XP_011512965.1
<input checked="" type="checkbox"/>	PHD finger protein 1 isoform X3 [Homo sapiens]	1059	1059	100%	0.0	94.86%	XP_011512966.1
<input checked="" type="checkbox"/>	PHD finger protein 1 isoform X4 [Homo sapiens]	847	847	73%	0.0	99.76%	XP_011512967.1
<input checked="" type="checkbox"/>	PHD finger protein 1 isoform X5 [Homo sapiens]	847	847	73%	0.0	99.76%	XP_011512968.1
<input checked="" type="checkbox"/>	PHD finger protein 1 isoform a [Homo sapiens]	725	725	62%	0.0	98.60%	NP_002627.2
<input checked="" type="checkbox"/>	PHD finger protein 1 isoform X7 [Homo sapiens]	724	724	62%	0.0	98.60%	XP_011512972.1
<input checked="" type="checkbox"/>	PHF1 [Homo sapiens]	724	724	62%	0.0	98.32%	AAC52062.1
<input type="checkbox"/>	unnamed protein product [Homo sapiens]	724	724	62%	0.0	98.32%	BAA58363.1
<input checked="" type="checkbox"/>	PHD finger protein 1 isoform X6 [Homo sapiens]	723	723	61%	0.0	100.00%	XP_011512971.1
<input checked="" type="checkbox"/>	Chain A_PhD Finger Protein 1 [Homo sapiens]	697	697	59%	0.0	100.00%	SXFP_A
<input checked="" type="checkbox"/>	Chain A_PhD Finger Protein 1 [Homo sapiens]	659	659	55%	0.0	100.00%	SXFN_A
<input checked="" type="checkbox"/>	PHD finger protein 1 isoform X8 [Homo sapiens]	418	418	37%	1e-142	100.00%	XP_016866428.1
<input checked="" type="checkbox"/>	metal-response element-binding transcription factor 2 isoform a [Homo sapiens]	411	411	94%	3e-136	40.79%	NP_031384.1
<input checked="" type="checkbox"/>	Chain A_Metal-response Element-binding Transcription Factor 2 [Homo sapiens]	382	382	53%	5e-129	58.03%	SXFR_A
<input checked="" type="checkbox"/>	PHD finger protein 19 isoform CRA_a [Homo sapiens]	387	387	94%	5e-127	42.60%	EAW87475.1
<input checked="" type="checkbox"/>	PHD finger protein 19 isoform a [Homo sapiens]	385	385	94%	3e-126	41.82%	NP_056466.1
<input checked="" type="checkbox"/>	PHD finger protein 19 isoform c [Homo sapiens]	382	382	94%	4e-125	41.64%	NP_001273769.1
<input type="checkbox"/>	hypothetical protein [Homo sapiens]	381	381	94%	2e-124	41.64%	CAE45832.1
<input checked="" type="checkbox"/>	PHD finger protein 19 isoform CRA_d [Homo sapiens]	381	381	94%	3e-124	41.64%	EA87478.1
<input checked="" type="checkbox"/>	PHD finger protein 19 isoform X5 [Homo sapiens]	371	371	54%	4e-123	56.17%	XP_011516817.1
<input checked="" type="checkbox"/>	PHD finger protein 19 isoform X7 [Homo sapiens]	370	370	54%	5e-123	56.17%	XP_011516818.1
<input checked="" type="checkbox"/>	PHD finger protein 19 isoform X3 [Homo sapiens]	370	370	54%	2e-122	56.17%	XP_016870102.1
<input checked="" type="checkbox"/>	PHD finger protein 19 isoform CRA_c [Homo sapiens]	370	370	54%	2e-122	56.17%	EA87477.1
<input type="checkbox"/>	unnamed protein product [Homo sapiens]	374	374	54%	4e-122	56.17%	BAG53700.1
<input checked="" type="checkbox"/>	PHD finger protein 19 isoform X2 [Homo sapiens]	370	370	54%	9e-122	56.17%	XP_011516813.1
<input checked="" type="checkbox"/>	metal-response element-binding transcription factor 2 isoform c [Homo sapiens]	363	407	58%	3e-118	55.81%	NP_001157864.1
<input checked="" type="checkbox"/>	metal-response element-binding transcription factor 2 isoform b [Homo sapiens]	343	343	84%	5e-111	39.16%	NP_001157863.1

在Homo sapien (taxid:9606)中共找到5条与PHF1相似性为100%的蛋白质序列，8条相似性大于90%的蛋白质序列，其余序列相似性稍低，但分析不难发现这些序列均为PHF1的同源序列MTF2、PHF19及其各个亚型。

PHF1及其同源蛋白MTF2、PHF19保守性高

Tudor

...HF1	1	MAQPPRLSRSGASSLWDPASPAPSGPRPRIWEGQDVIAKRTDGLLYLGTIKKVDSAREVCLVQFEDDS
hMTF2	18	LRRNQKTPSLTKLSL--QDGHKAKKPACKFEEGQDVIAKRTDGLLYLGTIKKINILKQSCFIIFEDSS
hPHF19	10	TRDSYGAATSHLPNKGALAKVNNFKDLMSKLTSEGQYVLICRWTDGLLYLGKIKRVSSSKQSCLVTFEDNS

PHD1

hPHF1	70	QFLVWKDISPAALPGEELLOCVCRSETVVPGNRVLSCERCRHAYHQDCHVPRAPAPGEGEGETSWVCRQ
hMTF2	85	KSWVWKDIQTGATGSGEMVCTICQEYESEAPNEMVICDKCQGYHQLCHTPHIDCSVIDSDEKWLCRQ
hPHF19	79	KYWVWKDIQHAGVPGEEPKCNICLGKTSGPLNEILICGKCGLYHQQCHIPIAGSADQPLLTPWFCCR

PHD2

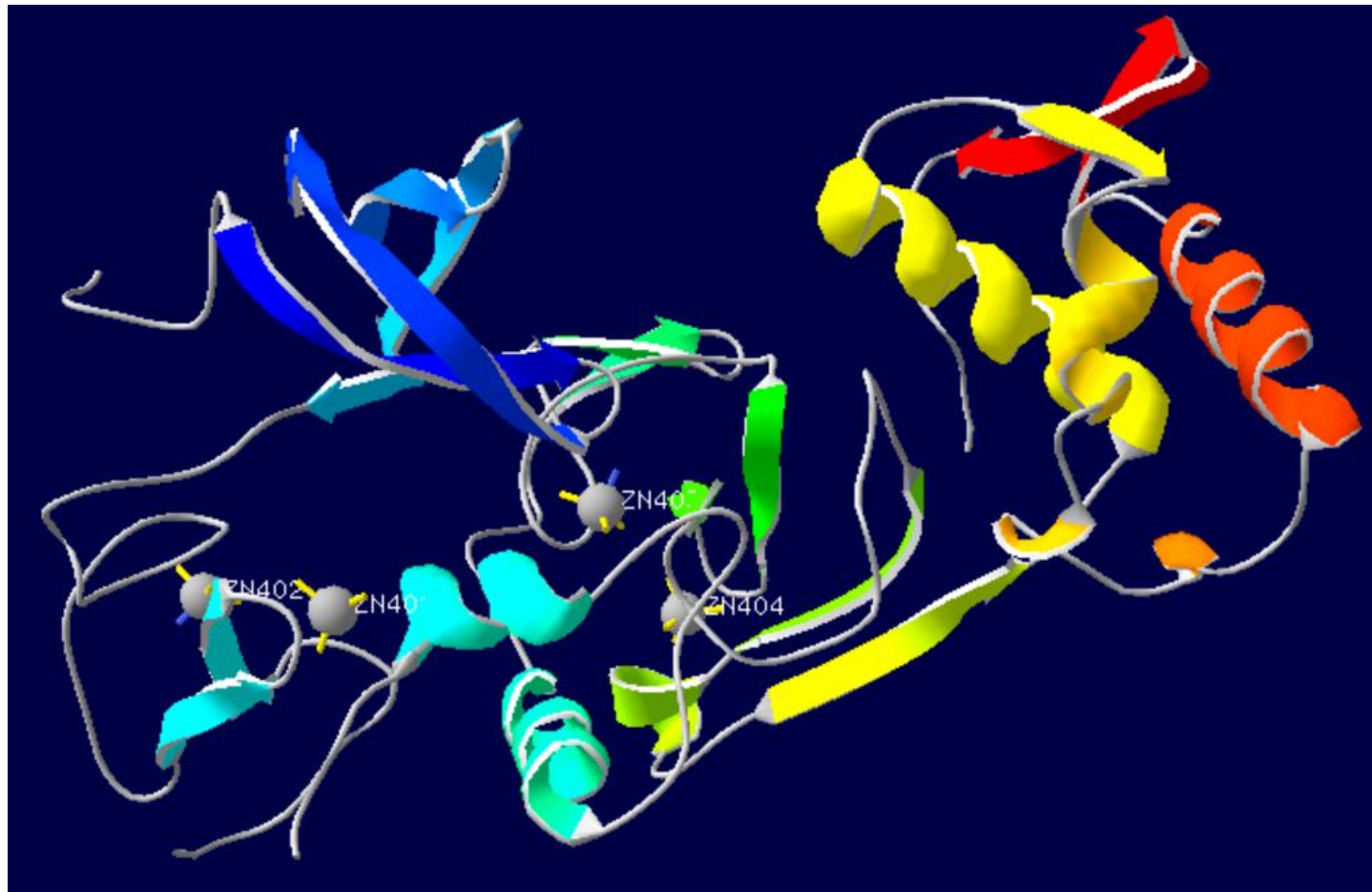
hPHF1	139	CVFAIATKRGGALKKGPYARAMLGMKLSLPYGLKGLDWDAGHLSNRQQSYCYCGGPGEWNLKMLQCRSC
hMTF2	154	CVFATTTKRGGALKKGPNAKALQVMKQTLQPVSVADLEWDAGHKTNVQQCYCYCGGPGDWYLKMLQCCKC
hPHF19	148	CIFALAVRKGGALKKGAIARTLQAVKMVLQSYQPEELEWDSPHRTNQQCYCYCGGPGEWYLRLMLQCYRC

EH

hPHF1	208	LQWFHEACTQCLSKPLLYGDRFYEFECVCVRGGPEKVRRLQLRWVDVAHLVLYHLSVCKKKYFDFDRE
hMTF2	223	KQWFHEACVQCLQKPMIFGDRFYTFICSVCSSGPEYLKRLPLQWVDIAHLCLYNLSVIHKKKYFDSELE
hPHF19	217	RQWFHEACTQCLNEPMMFGDRFYLFFCSVCNQGPEYIERLPLRWVDVVHLALYNIGVQSKKKYFDFE-E

hPHF1	277	ILPPTSENWDSLILLGELSDTPKGERSSRLLSALNSHKDRFISGREIKFRKCLFGIHAMPP--PVEPPT
hMTF2	292	LMTYINENWDRLHPGELADTPKSERYEHVLEALNDYKTMFMSGKEIKKKKHLFGLRIRVPPVPPNVAFK
hPHF19	285	ILAFVNHHWELLQLGKLTSPTVTDRGPHLLNALNSYKSRFLCGKEIKKKKCIFRLRIRVPPNPPGKLLP

PHF1蛋白N端三维结构解析



ZN 401-404位

人PHF1蛋白与大鼠、小鼠亲缘关系近

Needle

Aligned_sequences: 2

1: PHF1_HUMAN

2: PHF1_MOUSE

Matrix: EBLOSUM62

Gap_penalty: 10.0

Extend_penalty: 0.5

#

Length: 567

Identity: 524/567 (92.4%)

Similarity: 534/567 (94.2%)

Gaps: 8/567 (1.4%)

Score: 2820.0

EBI EMBOSS tools

<https://www.ebi.ac.uk/Tools/emboss/>

PHF1_HUMAN 551 PDGSVQYLVEWGGGIF 567

PHF1_MOUSE 543 PDGSVQYLVEWGGGIF 559

PHF1_HUMAN	1 MAQPPRLSRSGASSLWDPASPAPTSGPRPRLWEGQDVLRWTDGLLYLGT	50
PHF1_MOUSE	1 MAQLPRLSRLGAPSLWDPASPAPTSGPRPRLWEGQDVLRWTDGLLYLGT	50
PHF1_HUMAN	51 IKKVD SAREVCLVQFEDDSQFLVLWKDISPAALPGEELLCCVCRSETVVP	100
PHF1_MOUSE	51 IKKVD SAREVCLVQFEDDSQFLVLWKDISPAALPGEELLCCVCRSETVVP	100
PHF1_HUMAN	101 GNRLVSCEKCRHAYHQDCHVPRAPAPGEGEGETSWCRQCVAIATKRGGAA	150
PHF1_MOUSE	101 GNRLVSCEKCRHAYHQDCHVPRAPAPGEGEGETSWCRQCVAIATKRGGAA	150
PHF1_HUMAN	151 LKKGPYARAMLGMKLSLPYGLKGLWDAGHLSNRQQSYCYCGGPGEWNLK	200
PHF1_MOUSE	151 LKKGPYARAMLGMKLSLPYGLKGLWDAGHLSNRQQSYCYCGGPGEWNLK	200
PHF1_HUMAN	201 MLQCRSCLQWFHEACTQCLSKPLLYGDRFYEFECVCRCGPEKVRRQLR	250
PHF1_MOUSE	201 MLQCRSCLQWFHEACTQCLSKPLLYGDRFYEFECVCRCGPEKVRRQLR	250
PHF1_HUMAN	251 WVDVAHLVLYHLSVCKKKYFDFDREILPFTSENWDSSLGELSDTPKGEE	300
PHF1_MOUSE	251 WVDVAHLVLYHLSVCKKKYFDFDREILPFTSENWDSSLGELSDTPKGEE	300
PHF1_HUMAN	301 RSSRLLSALNSHKDRFISGREIKKRKCLFGHLHARMPPPVEPPTGDLATS	350
PHF1_MOUSE	301 RSSQLLSALNSHKDRFISGREIKKRKCLFGHLHARPPVELLTDGAPTS	350
PHF1_HUMAN	351 FPPSGQGPGGGVSRPLGKRRRPEPELRRRKQKGKVEELGPPSAVRNQPEPQ	400
PHF1_MOUSE	351 FPPSGQGPGGGVSRPLGKWRSEPEPLRRRKQKGKVEELGPPTAHSRHGSR	400
PHF1_HUMAN	401 EQRERAHQLRALQASVSPSPSPNQSYQGSSGYNFRPTDARCLPSSPIRM	450
PHF1_MOUSE	401 E-----QRALQASVSPPPSPNQSYEGSSGYNFRPTDARCLPSSPIRM	443
PHF1_HUMAN	451 FASFHPSASTAGTSGDGPDRSPLLEHIGFTIDPKSAPHSMTASSSSV	500
PHF1_MOUSE	444 FASFHPSASTAGTSGDSEPPDRSPLGLHIGFTDTPKSSPHSVTASSSSV	493
PHF1_HUMAN	501 SSPSPGLRSPAPSPLCRSLSPGTGGVRRGGVGYLSRGDPVRVLARRVR	550
PHF1_MOUSE	494 PALTPGFSRHS-PPSPLCRSLSPGTGGVRRGGVSYLSRGDPVRVLARRVR	542

人PHF1蛋白与大鼠、小鼠亲缘关系近

```
# Aligned_sequences: 2  
# 1: PHF1_HUMAN  
# 2: Q6MGC9_RAT  
# Matrix: EBLOSUM62  
# Gap_penalty: 10.0  
# Extend_penalty: 0.5  
#  
# Length: 567  
# Identity: 527/567 (92.9%)  
# Similarity: 538/567 (94.9%)  
# Gaps: 7/567 ( 1.2%)  
# Score: 2850.0
```

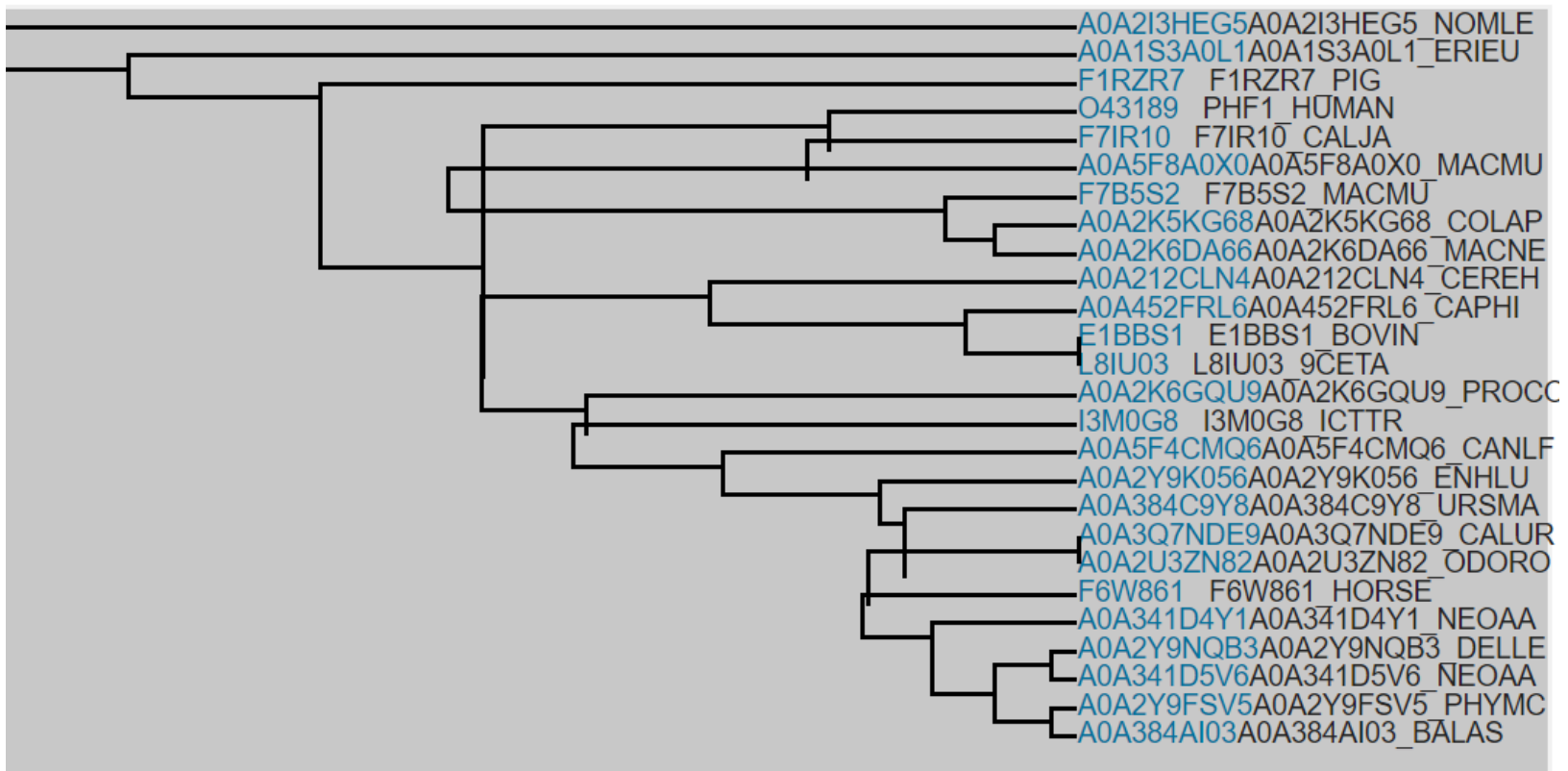
```
# Aligned_sequences: 2  
# 1: PHF1_MOUSE  
# 2: Q6MGC9_RAT  
# Matrix: EBLOSUM62  
# Gap_penalty: 10.0  
# Extend_penalty: 0.5  
#  
# Length: 560  
# Identity: 548/560 (97.9%)  
# Similarity: 554/560 (98.9%)  
# Gaps: 1/560 ( 0.2%)  
# Score: 2984.0
```

物种	序列名	登录号	得分	相同位点（比例）	相同加相似位点（比例）
人/小鼠	PHF1_HUMAN/ PHF1_MOUSE	O43189/Q9Z1B8	2820.0	524/567 (92.4%)	534/567 (94.2%)
人/大鼠	PHF1_HUMAN/ Q6MGC9_RAT	O43189/Q6MGC9	2850.0	527/567 (92.9%)	538/567 (94.9%)
小鼠/大鼠	PHF1_MOUSE/ Q6MGC9_RAT	Q9Z1B8/Q6MGC9	2984.0	548/560 (97.9%)	554/560 (98.9%)

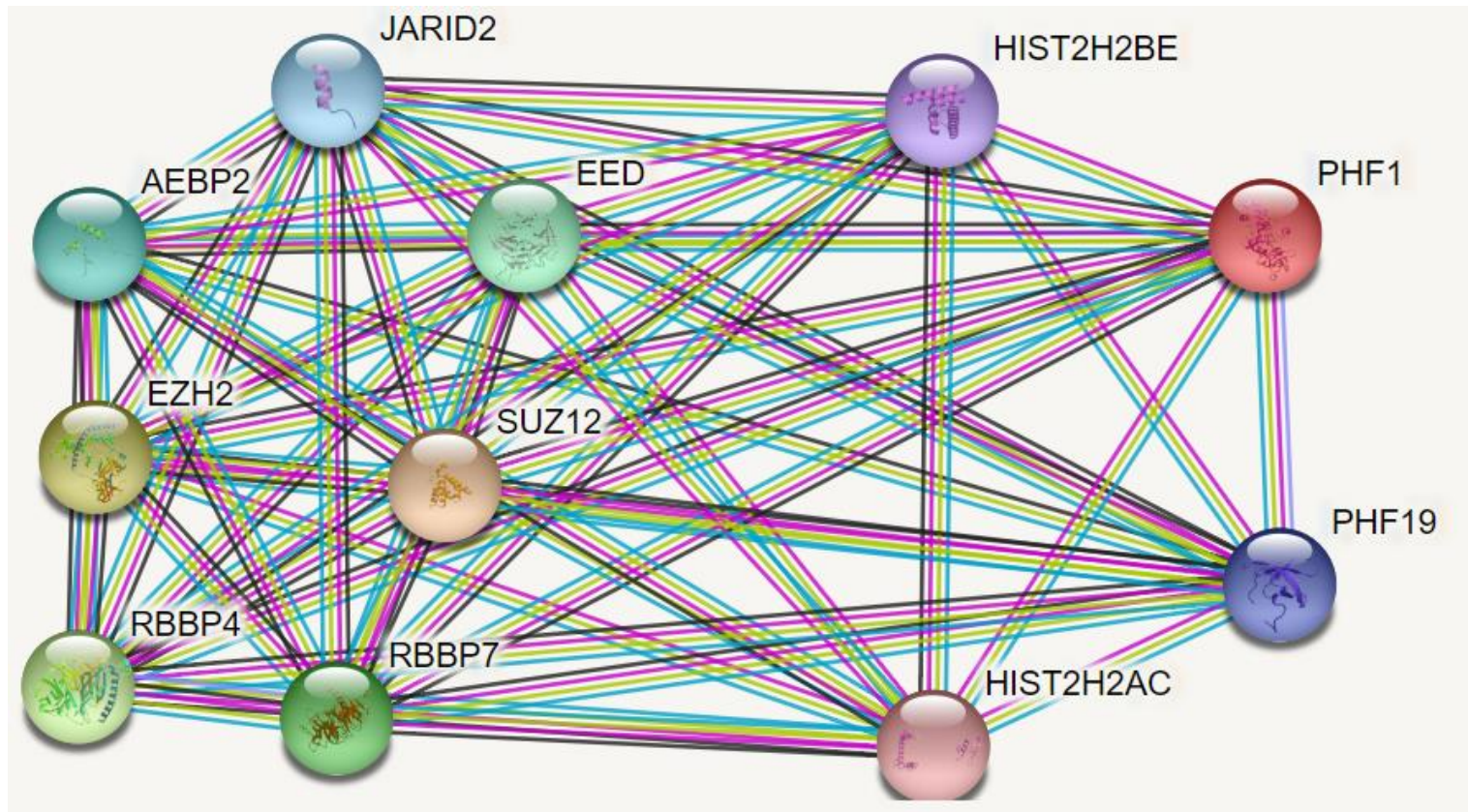
PHF1蛋白在不同物种中具有保守性

Identical positions: 371

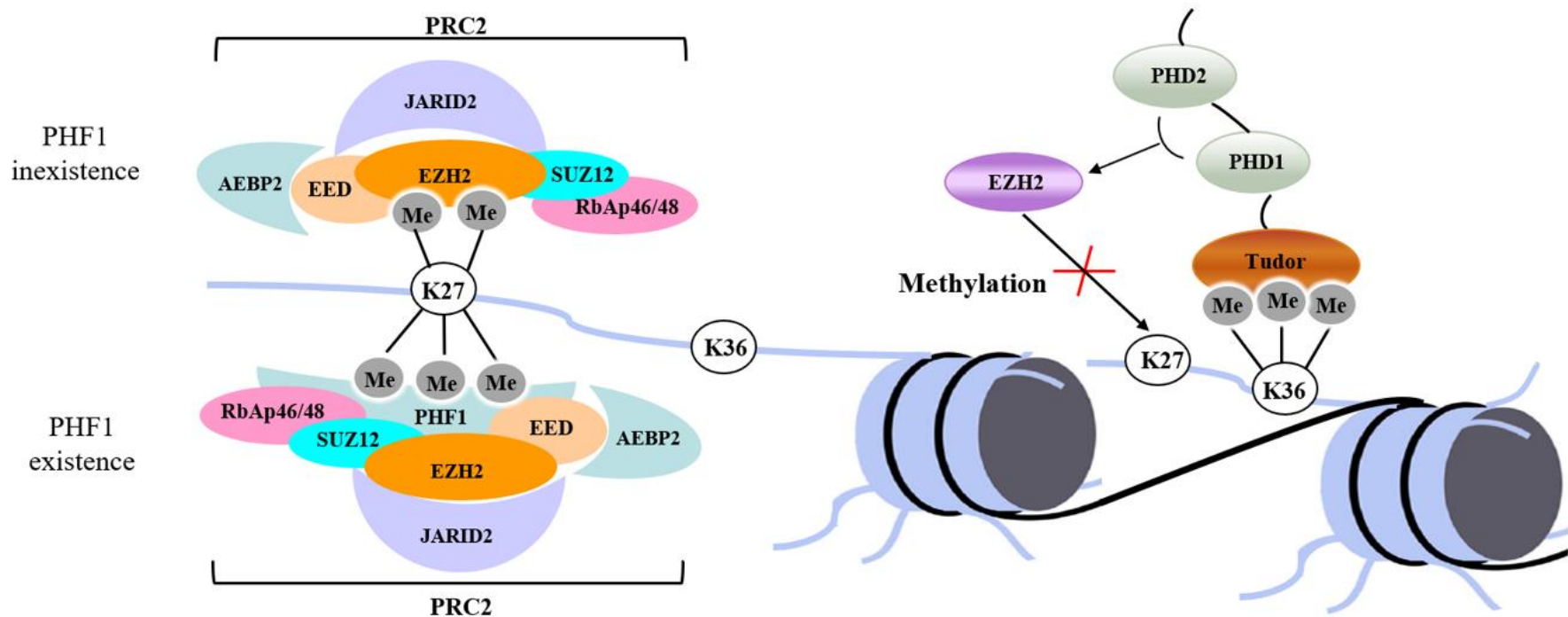
Identity : 64.298%



PHF1蛋白互作情况分析



PHF1介导的组蛋白H3K27me3和H3K36me3示意图



Nat Commun, 2013, 4(2):969-989.

Biochemical and biophysical research communications, 2013, 430(2): 547-553.

Journal of molecular biology, 2014, 426(8): 1651-1660.

Epigenetics, 2015, 10(6): 467-473.

Proceedings of the National Academy of Sciences of the United States of America, 2011, 108(2): 540-545.

Molecular and cellular biology, 2008, 28(5): 1862-1872.

四、参考

蛋白特性分析 expasy	https://www.expasy.org/
跨膜结构分析 TMHMM	http://www.cbs.dtu.dk/services/TMHMM/
信号肽分析 SignalP	http://www.cbs.dtu.dk/services/SignalP/
亚细胞定位 psort	https://psort.hgc.jp/form.html
蛋白结构预测 pfam	http://pfam.xfam.org/
二级结构预测 psipred	http://bioinf.cs.ucl.ac.uk/psipred/
三级结构预测 swissmodel	https://swissmodel.expasy.org/
使用软件 MEGA; SWISS-PDB;	

- [1] HONG Z, JIANG J, LAN L, et al. A polycomb group protein, PHF1, is involved in the response to DNA double-strand breaks in human cell [J]. *Nucleic Acids Res*, 2008, 36(9): 2939-2947.
- [2] YANG Y, WANG C, ZHANG P, et al. Polycomb group protein PHF1 regulates p53-dependent cell growth arrest and apoptosis [J]. *The Journal of biological chemistry*, 2013, 288(1): 529-539.
- [3] BRIEN G L, HEALY E, JERMAN E, et al. A chromatin-independent role of Polycomb-like 1 to stabilize p53 and promote cellular quiescence [J]. *Genes & development*, 2015, 29(21): 2231-2243.
- [4] MUSSELMAN C A, AVVAKUMOV N, WATANABE R, et al. Molecular basis for H3K36me3 recognition by the Tudor domain of PHF1 [J]. *Nature structural & molecular biology*, 2012, 19(12): 1266-1272.
- [5] MUSSELMAN C A, GIBSON M D, HARTWICK E W, et al. Binding of PHF1 Tudor to H3K36me3 enhances nucleosome accessibility [J]. *Nat Commun*, 2013, 4(2):969-989.
- [6] QIN S, GUO Y, XU C, et al. Tudor domains of the PRC2 components PHF1 and PHF19 selectively bind to histone H3K36me3 [J]. *Biochemical and biophysical research communications*, 2013, 430(2): 547-553.
- [7] KYCIA I, KUDITHIPUDI S, TAMAS R, et al. The Tudor domain of the PHD finger protein 1 is a dual reader of lysine trimethylation at lysine 36 of histone H3 and lysine 27 of histone variant H3t [J]. *Journal of molecular biology*, 2014, 426(8): 1651-1660.
- [8] FNU S, WILLIAMSON E A, DE HARO L P, et al. Methylation of histone H3 lysine 36 enhances DNA repair by nonhomologous end-joining [J]. *Proceedings of the National Academy of Sciences of the United States of America*, 2011, 108(2): 540-545.
- [9] CAO R, WANG H, HE J, et al. Role of hPHF1 in H3K27 methylation and Hox gene silencing [J]. *Molecular and cellular biology*, 2008, 28(5): 1862-1872.
- [10] SARMA K, MARGUERON R, IVANOV A, et al. Ezh2 requires PHF1 to efficiently catalyze H3 lysine 27 trimethylation in vivo [J]. *Molecular and cellular biology*, 2008, 28(8): 2718-2731.

- [11] BOULAY G, ROSNOBLET C, GUERARDEL C, et al. Functional characterization of human Polycomb-like 3 isoforms identifies them as components of distinct EZH2 protein complexes [J]. *The Biochemical journal*, 2011, 434(2): 333-342.
- [12] WANG S W, ROBERTSON G P, ZHUA J Y. A novel human homologue of Drosophila polycomblike gene is up-regulated in multiple cancers [J]. *Gene*, 2004, 343(1): 69-78.
- [13] BRIEN G L, BRACKEN A P. The PCL1-p53 axis promotes cellular quiescence [J]. *Cell Cycle*, 2016, 15(3): 305-306.
- [14] CAO R, WANG H, HE J, et al. Role of hPHF1 in H3K27 Methylation and Hox Gene Silencing [J]. *Molecular and cellular biology*, 2007, 28(5): 1862-1872.
- [15] MICCI F, PANAGOPOULOS I, BJORKEHAGEN B, et al. Consistent rearrangement of chromosomal band 6p21 with generation of fusion genes JAZF1/PHF1 and EPC1/PHF1 in endometrial stromal sarcoma [J]. *Cancer research*, 2006, 66(1): 107-112.
- [16] PANAGOPOULOS I, MERTENS F, GRIFFIN C A. An endometrial stromal sarcoma cell line with the JAZF1/PHF1 chimera [J]. *Cancer genetics and cytogenetics*, 2008, 185(2): 74-77.
- [17] MICCI F, GORUNOVA L, GATIUS S, et al. MEAF6/PHF1 is a recurrent gene fusion in endometrial stromal sarcoma [J]. *Cancer letters*, 2014, 347(1): 75-78.
- [18] PANAGOPOULOS I, MICCI F, THORSEN J, et al. Novel fusion of MYST/Esa1-associated factor 6 and PHF1 in endometrial stromal sarcoma [J]. *PloS one*, 2012, 7(6): e39354.
- [19] ANTONESCU C R, SUNG Y S, CHEN C L, et al. Novel ZC3H7B-BCOR, MEAF6-PHF1, and EPC1-PHF1 fusions in ossifying fibromyxoid tumors--molecular characterization shows genetic overlap with endometrial stromal sarcoma [J]. *Genes, chromosomes & cancer*, 2014, 53(2): 183-193.

致谢

感谢罗老师一学期的悉心讲解

感谢组员的共同努力

感谢大家的耐心聆听

请大家批评指正